

Воркшоп по математическому моделированию и дифференциальным уравнениям,  
посвященный 70-летию юбилею д.ф.-м.н., профессора А.О. ВАТУЛЬЯНА  
22-24 ноября 2023 г.

# О некоторых аспектах моделирования и идентификации распределений предварительных напряжений в цилиндрах и пластинах

**Р.Д. Недин**

ИММиКН им. И.И. Воровича ЮФУ, ЮМИ ВЦ РАН

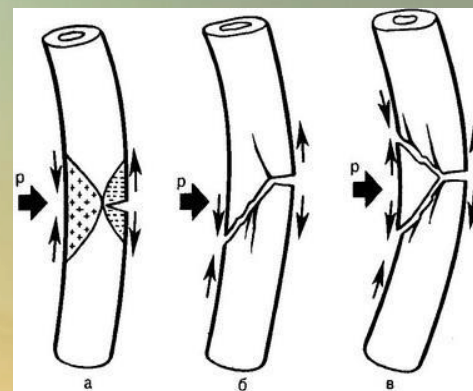
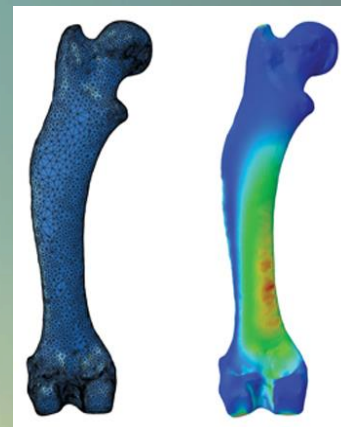
Научная школа А.О. Ватульяна

# Образование предварительных напряжений (ПН)

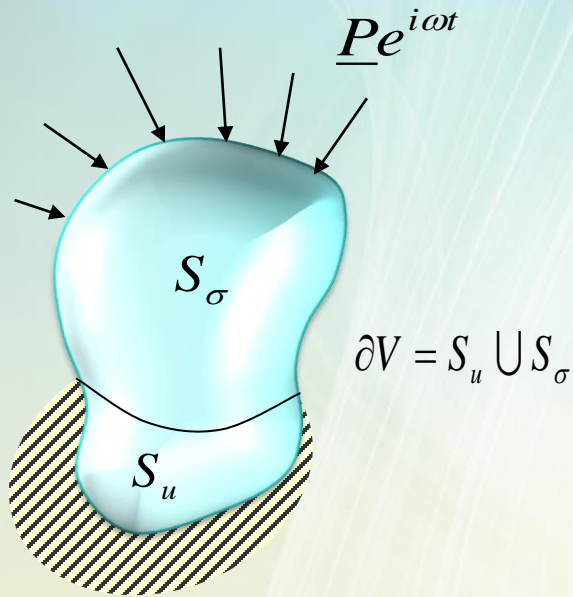
В инженерных конструкциях...



В биологических структурах...



# Модель колебаний упругого преднапряженного тела



Равновесие начального состояния:

$$\begin{cases} \nabla \cdot \boldsymbol{\sigma}_0 = 0 \\ \mathbf{u}_0|_{S_u} = 0, \quad \mathbf{n} \cdot \boldsymbol{\sigma}_0|_{S_\sigma} = \mathbf{P}_0 \end{cases} \quad (1)$$

Наложение малых колебаний:

$$\begin{cases} \nabla \cdot \mathbf{T} = \rho \ddot{\mathbf{u}} \\ \mathbf{T} = \boldsymbol{\sigma} + \boldsymbol{\sigma}_0 \cdot \nabla \mathbf{u} \quad (\nabla \mathbf{u}_0 \approx 0) \\ \mathbf{u}|_{S_u} = 0, \quad \mathbf{n} \cdot \mathbf{T}|_{S_\sigma} = \mathbf{P} \end{cases} \quad (2)$$

$$\boldsymbol{\sigma}_0 = \mathbf{C} : \mathbf{e}_0, \quad \boldsymbol{\sigma} = \mathbf{C} : \mathbf{e}, \quad \mathbf{e} = \frac{1}{2} (\nabla \mathbf{u} + \nabla \mathbf{u}^T)$$

Обзор других моделей:

R. Nedin, V. Dudarev, A. Vatulyan // *Engineering Structures* **151** (2017) 391-405



# Модель колебаний упругого преднапряженного тела

Вариационный принцип:

$$\delta\Lambda = 0, \quad \Lambda = \Pi + \Pi_0 - \omega^2 K \quad (3)$$

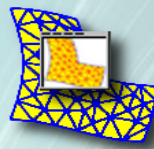
$$\Pi = \frac{1}{2} \int_V \boldsymbol{\sigma} : \mathbf{e} dV - \int_{S_\sigma} \mathbf{P} \cdot \mathbf{u} dS, \quad \Pi_0 = \frac{1}{2} \int_V (\boldsymbol{\sigma}_0 \cdot \nabla \mathbf{u}) : \nabla \mathbf{u} dV, \quad K = \frac{1}{2} \int_V \rho \mathbf{u} \cdot \mathbf{u} dV$$

Слабая постановка:

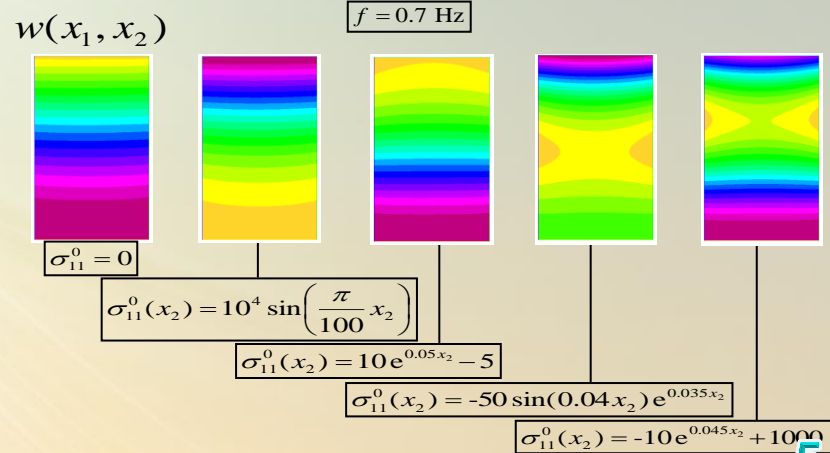
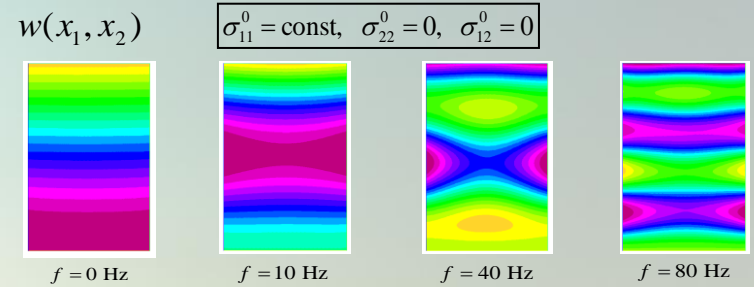
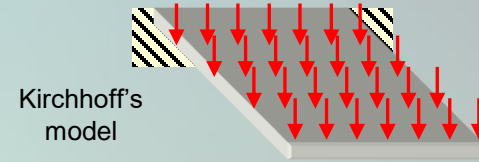
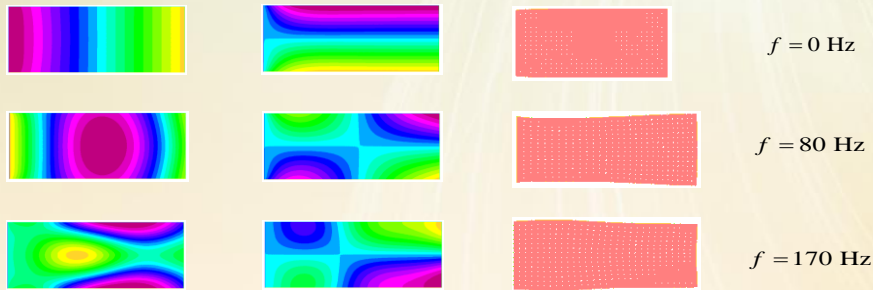
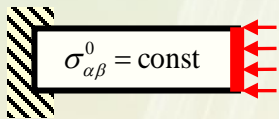
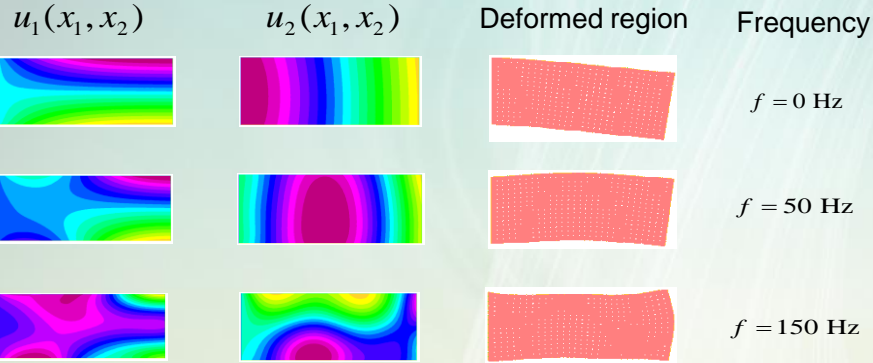
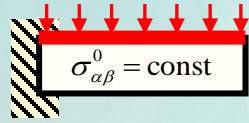
$$\int_V \boldsymbol{\sigma} : \nabla \mathbf{v} dV + \int_V (\boldsymbol{\sigma}_0 \cdot \nabla \mathbf{u}) : \nabla \mathbf{v} dV - \omega^2 \int_V \rho \mathbf{u} \cdot \mathbf{v} dV - \int_{S_\sigma} \mathbf{P} \cdot \mathbf{v} dS = 0 \quad (4)$$

$$\mathbf{u}|_{S_u} = 0, \quad \mathbf{v}|_{S_u} = 0$$

# Планарные колебания пластин

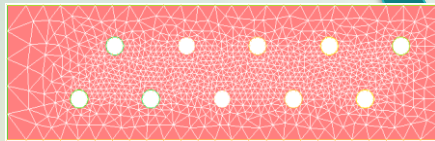
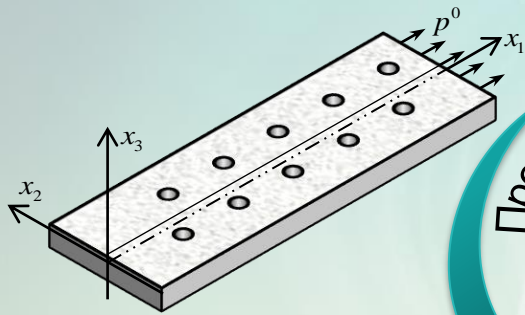


# Изгибные колебания пластин

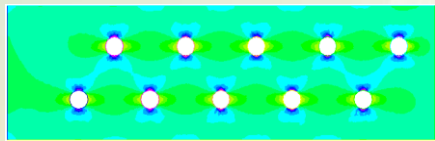


# Подход к моделированию колебаний начально напряженных тел

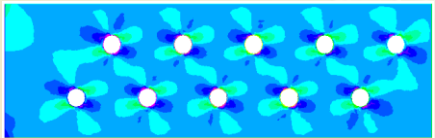
Этап 1: описание полей ПН  
(решение задачи статики)



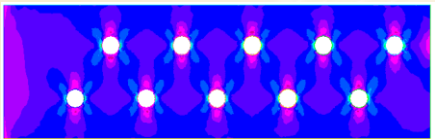
$\sigma_{11}^0$



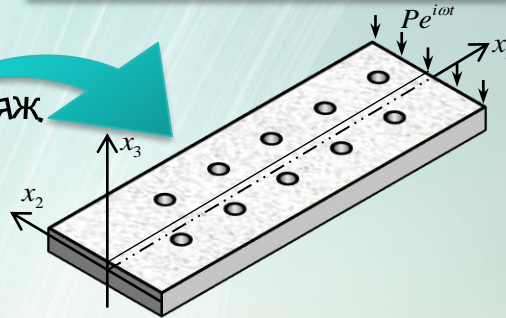
$\sigma_{12}^0$



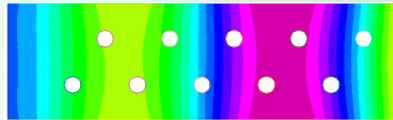
$\sigma_{22}^0$



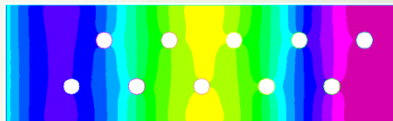
Этап 2: установившийся  
режим колебаний



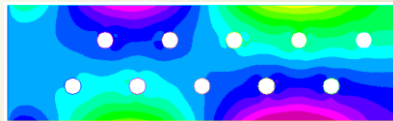
$w$



$\theta_1$



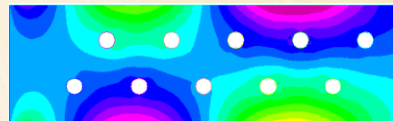
$\theta_2$



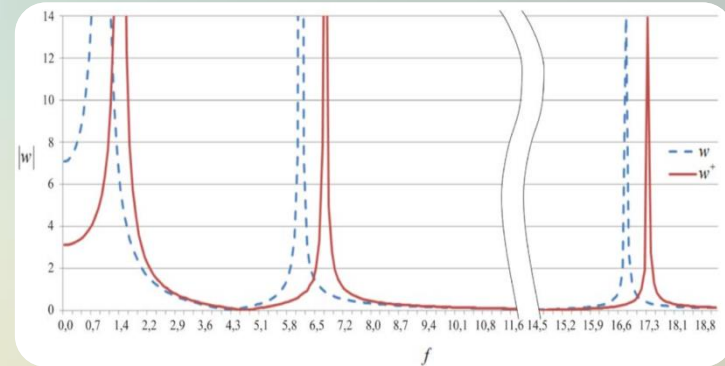
$\zeta_1$



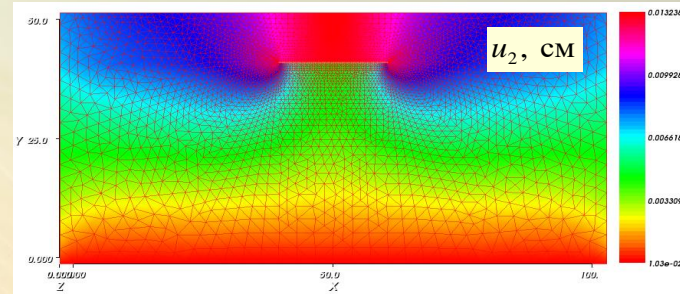
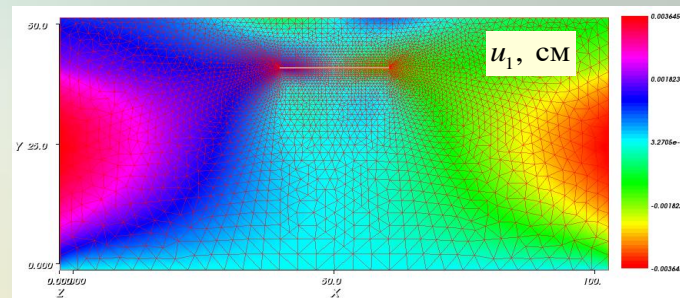
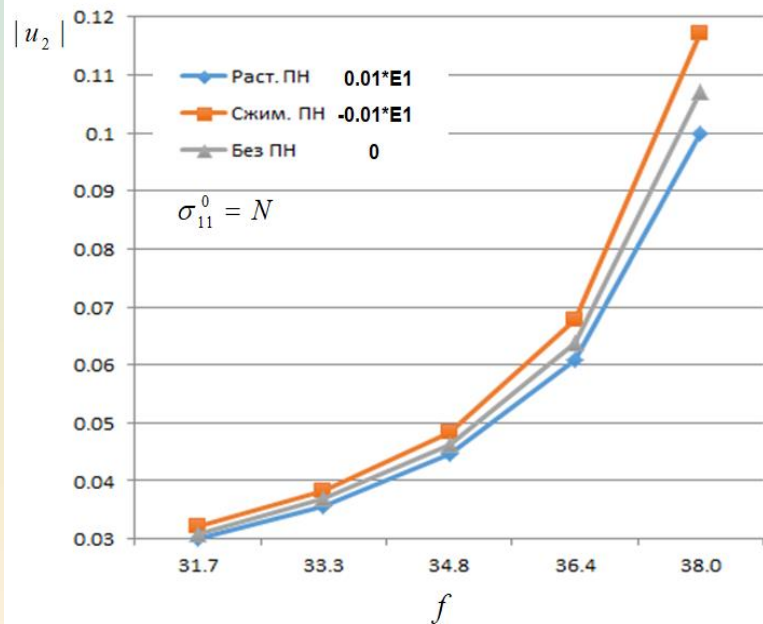
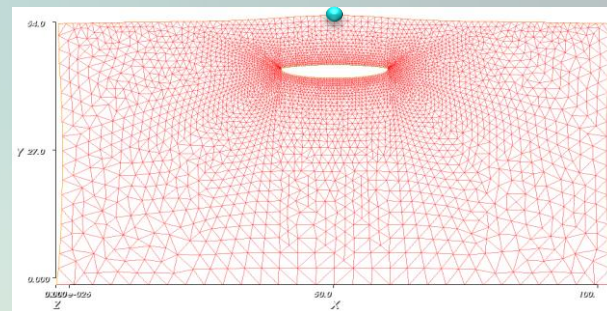
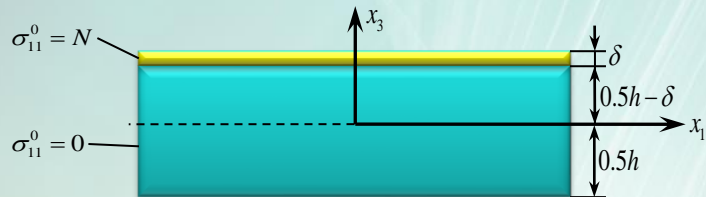
$\zeta_2$



Анализ влияния параметров ПНС  
пластин с отверстиями на АЧХ

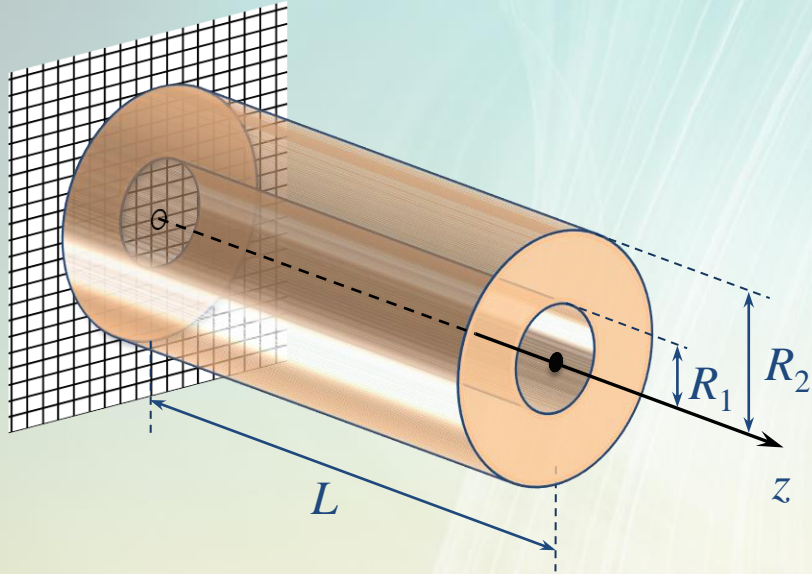


# Колебания полосы с покрытием и зоной отслоения





# Осесимметричные колебания цилиндра с остаточными напряжениями



$$V = \{r \in [R_1, R_2], \phi \in [0, 2\pi], z \in [0, L]\}$$

$$\mathbf{u} = u_r(r, z)\mathbf{e}_r + u_\phi(r, z)\mathbf{e}_\phi + u_z(r, z)\mathbf{e}_z \quad (9)$$

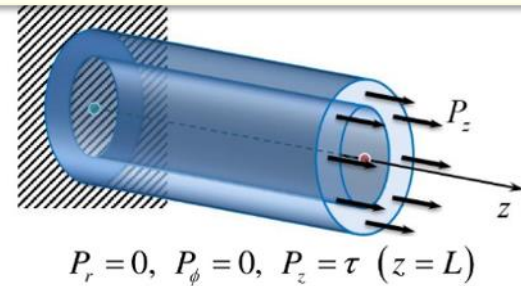
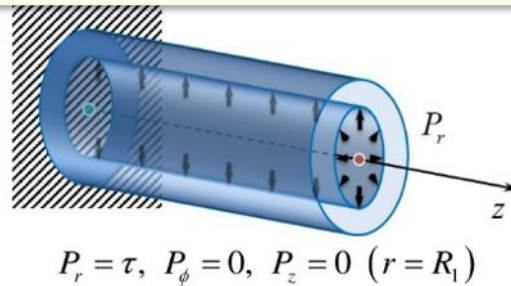
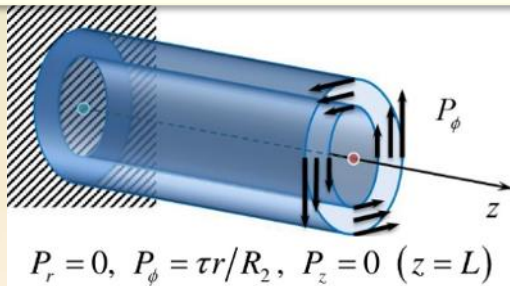
Ост. напряжения

$$\sigma_{rr}^0, \sigma_{\phi\phi}^0, \sigma_{zz}^0, \sigma_{r\phi}^0, \sigma_{rz}^0, \sigma_{\phi z}^0 \quad (r, z) \quad (10)$$

Неоднородный изотропный материал

$$\lambda = \lambda(r, z), \quad \mu = \mu(r, z) \quad (11)$$

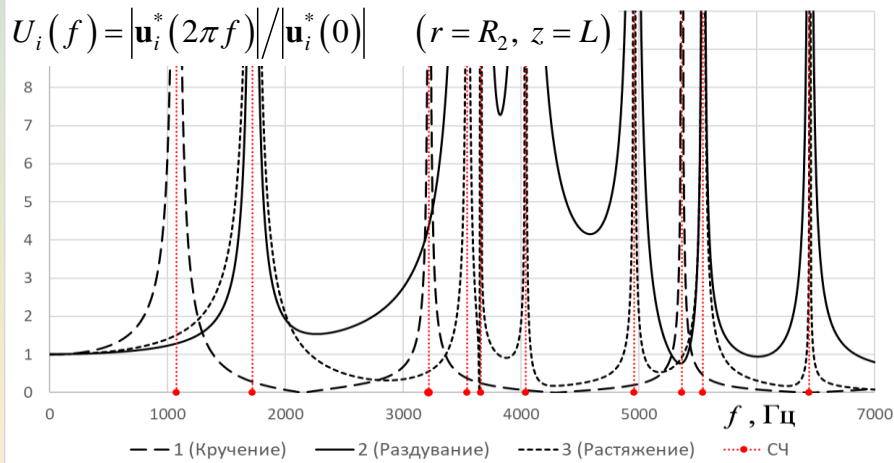
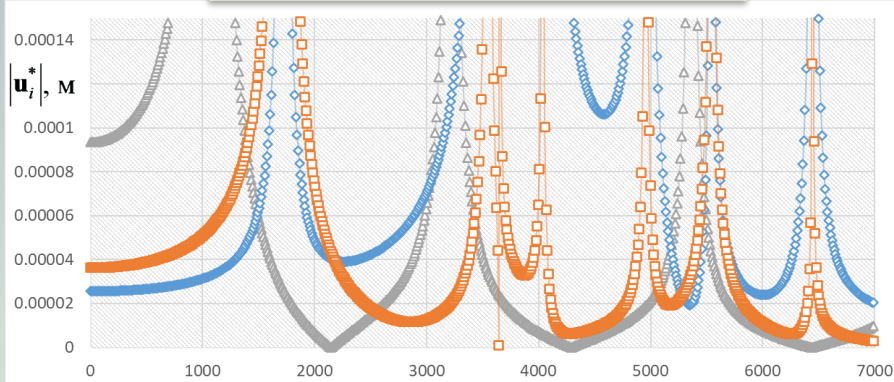
Зондирующее нагружение



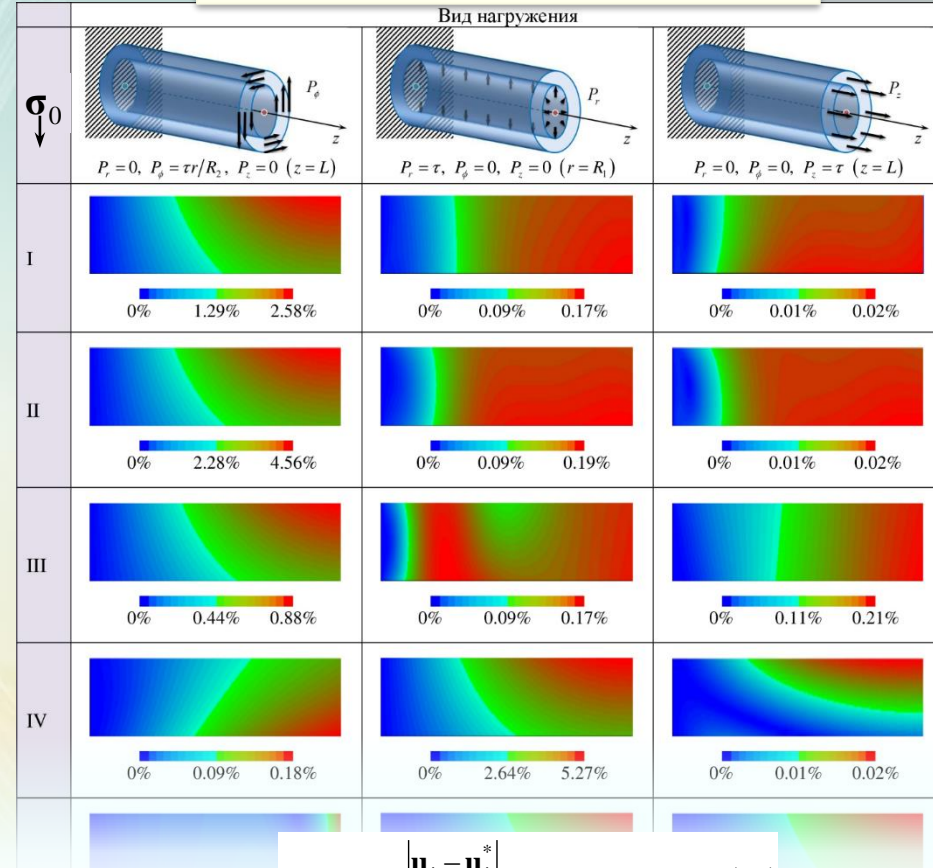


# Осесимметричные колебания цилиндра с остаточными напряжениями

## Чувствительность АЧХ к $\sigma_0$



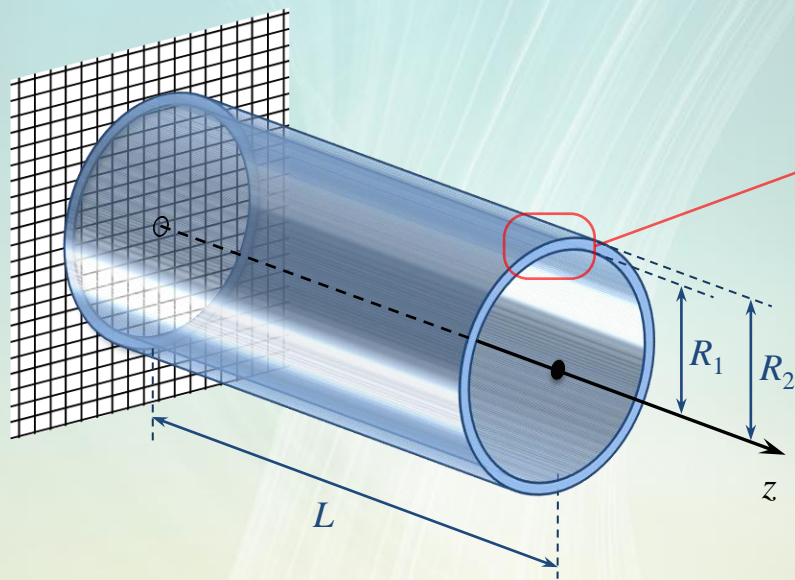
## Чувствительность полей $\mathbf{u}$ к $\sigma_0$



Недин Р.Д., Юров В.О. // Вестник ПНИПУ. Механика 1 (2023)

$$\delta_i(r, z) = \frac{|\mathbf{u}_i - \mathbf{u}_i^*|}{d_i} \cdot 100\%, \quad d_i = \max_{r, z} |\mathbf{u}_i^*|$$

# Осесимметричные колебания цилиндрической оболочки

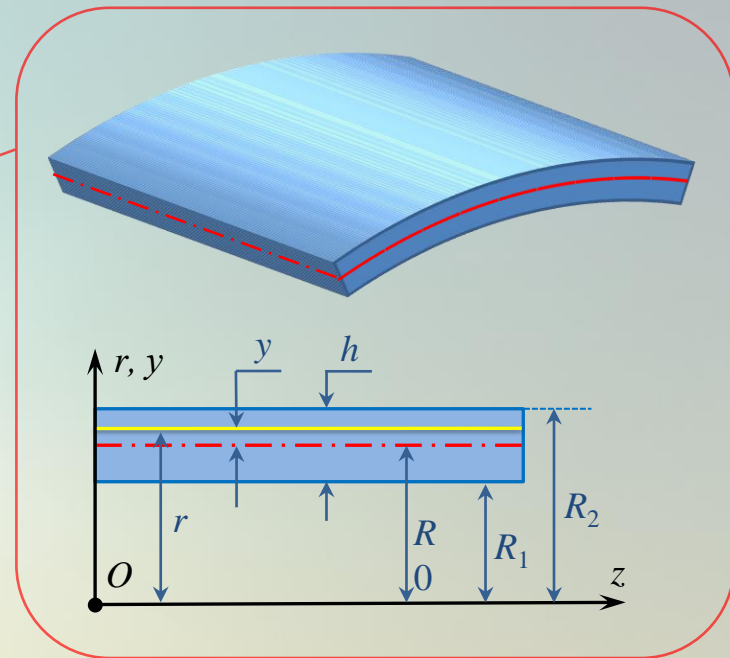


$$V = \{r \in [R_1, R_2], \phi \in [0, 2\pi), z \in [0, L]\}$$

Гипотезы (6)

$$u_r = w, \quad u_\phi = 0, \quad u_z = u - yw_{,z}$$

$$E, \nu \quad (y, z)$$



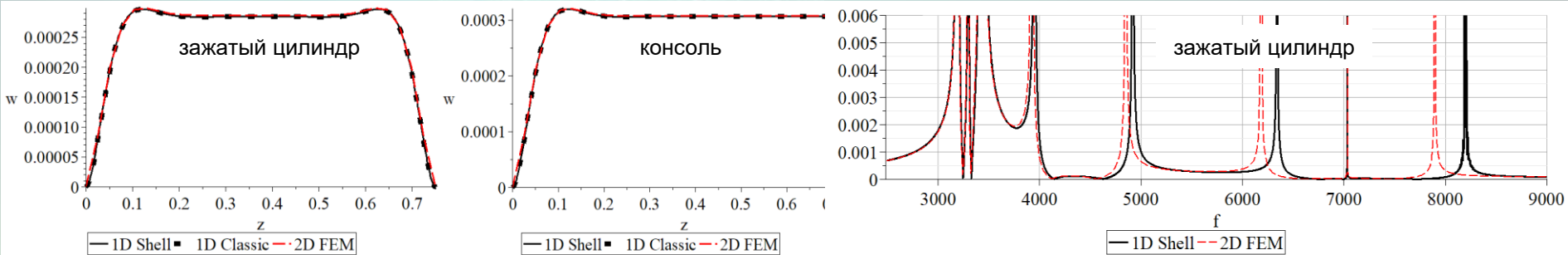
$$h = R_2 - R_1, \quad R_0 = (R_2 + R_1)/2, \quad y = r - R_0$$

Ост. напряжения (7)

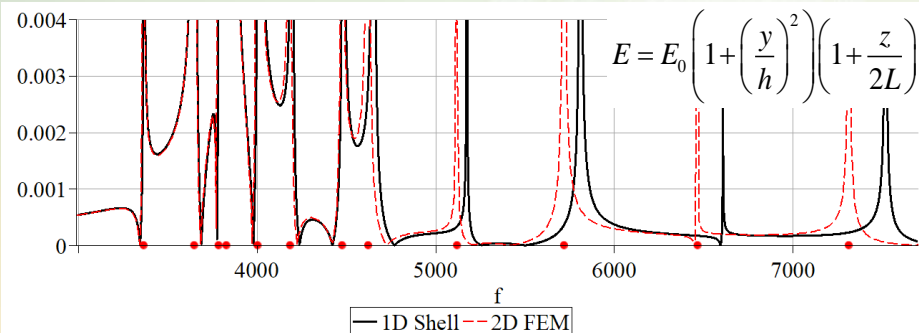
$$\sigma_\phi^0, \sigma_z^0 \quad (y, z)$$

# Осесимметричные колебания цилиндрической оболочки

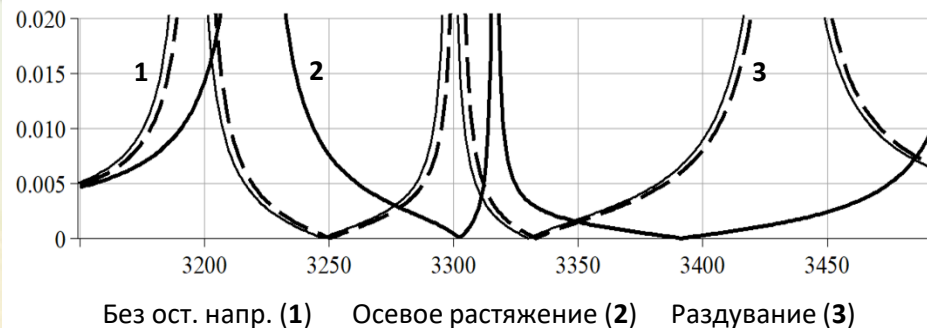
## Сравнение с классическим (1D) и МКЭ (2D) решениями



## АЧХ для функционально-градиентного материала



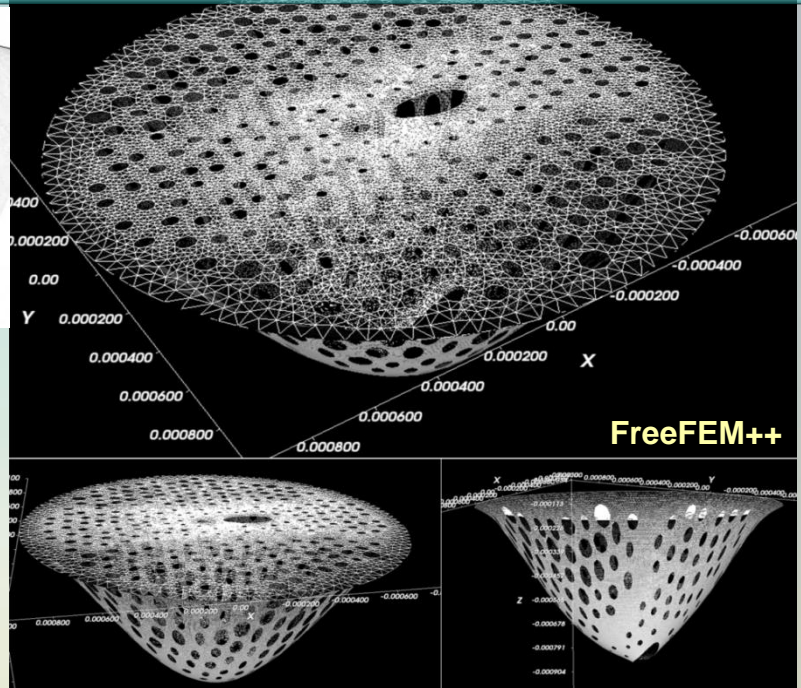
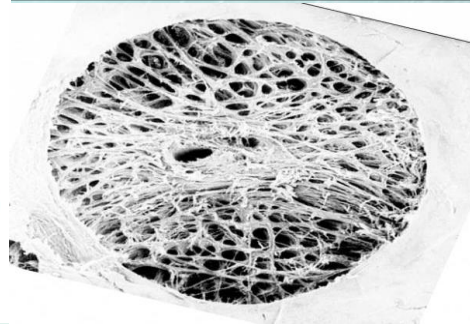
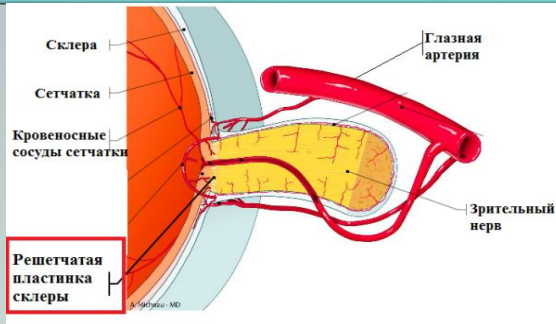
## Влияние ост. напряжений $\sigma_0$ на АЧХ



А.О. Ватульян, Р.Д. Недин, В.О. Юров // Проблемы прочности и пластичности 85 (2023)



# Решетчатая пластинка склеры глаза (lamina cribrosa)



$R = 1 \text{ мм} = 1000 \text{ }\mu\text{м}$ ,  $h = 0.25 \text{ мм} = 250 \text{ }\mu\text{м}$

$H = h / 1.6$  поправка на снижение жесткости вдоль толщины

$E = 1.43 \text{ МПа}$ ,  $\nu = 0.45$ ,  $\rho = 1060 \text{ кг/м}^3$

начальный прогиб

$w_0(x_1, x_2)$

$p_0 = 15 \text{ мм. рт. ст.}$  – норм. ВГД;  $w_0 = 43 \text{ }\mu\text{м}$

$p_0 = 35 \text{ мм. рт. ст.}$  – повыш. ВГД;  $w_0 = 100 \text{ }\mu\text{м}$

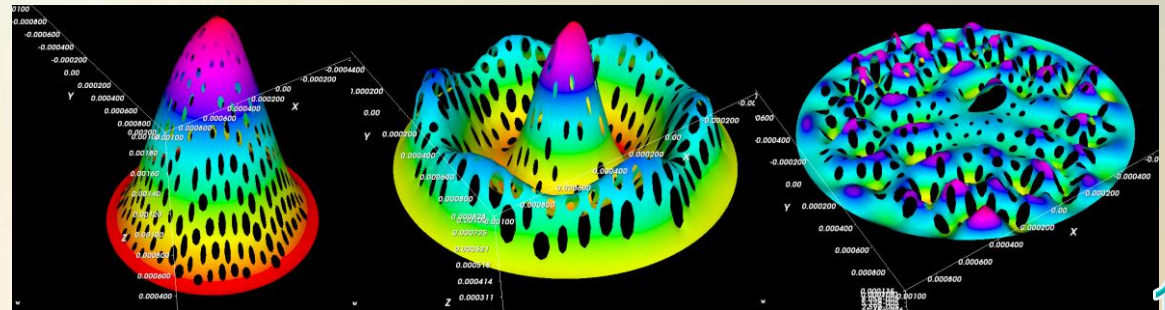
$w(x_1, x_2)$   $f = 4 \text{ kHz}$

$f = 23 \text{ kHz}$

$f = 80 \text{ kHz}$

Расчетные значения взяты из литературы:

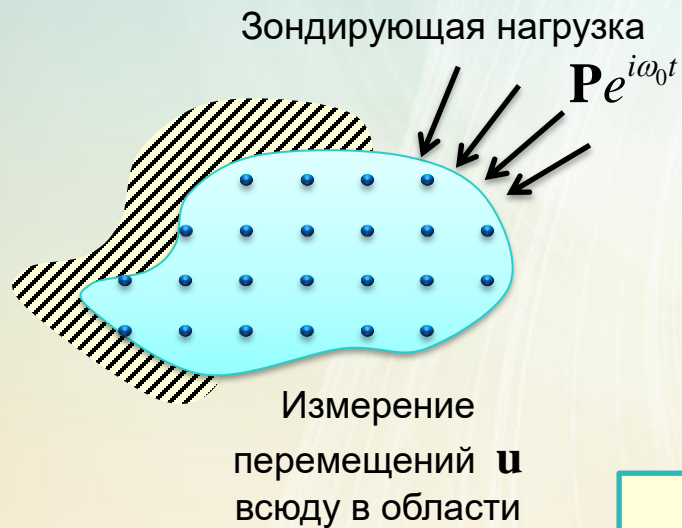
- Краковская Е.В // Российский журнал биомеханики 12(2) 2008
- Бауэр С.М., Воронкова Е.Б. // Вестник СПбГУ. Сер.1. 1(59) 2014



# Постановки обратных задач (ОЗ)

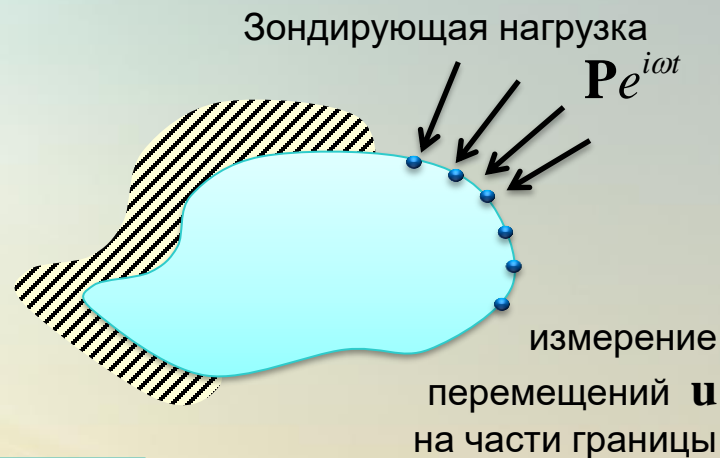
## ОЗ 1-го типа

$$\mathbf{u} = \mathbf{f}(\mathbf{x}, \omega_0), \quad \mathbf{x} \in V$$



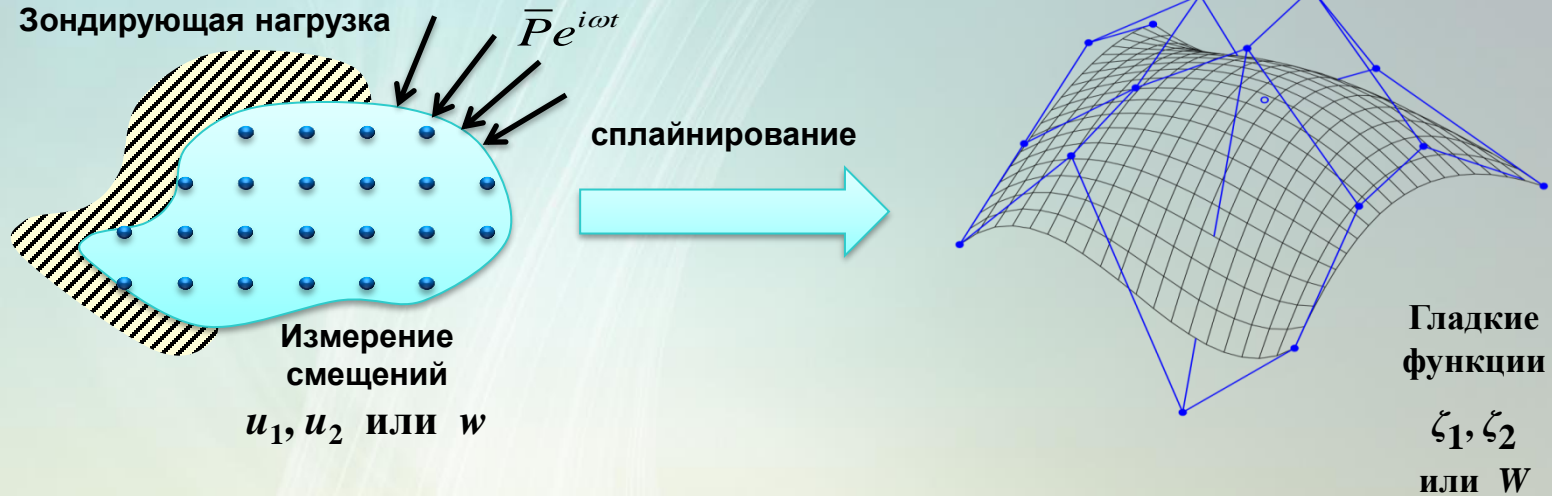
## ОЗ 2-го типа

$$\mathbf{u}|_{S_\sigma} = \mathbf{f}(\mathbf{x}, \omega), \quad \omega \in [\omega_1, \omega_2]$$



$$\boldsymbol{\sigma}_0(\mathbf{x}) - ?$$

# ОЗ 1-го типа для плоской области

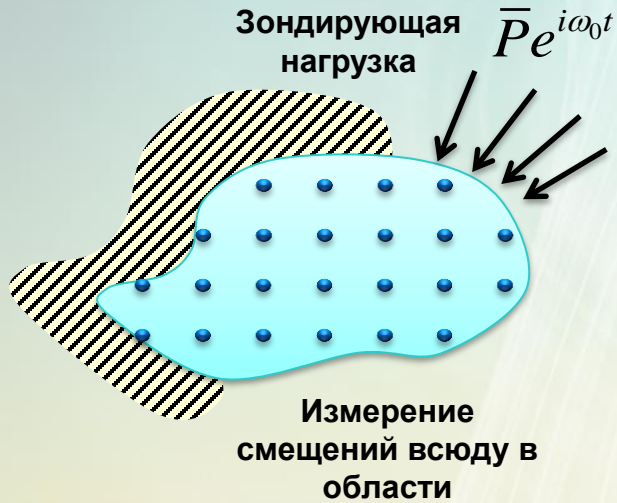


Цель: идентифицировать поля ПН  $\sigma_{\alpha\beta}^0(x)$

$$\begin{aligned}\sigma_{11,1}^0 + \sigma_{12,2}^0 &= 0 \\ \sigma_{12,1}^0 + \sigma_{22,2}^0 &= 0\end{aligned}\quad (5)$$



## ОЗ 1-го типа



Дополнительная информация:

$$u_i|_S = f_i(x, \omega_0)$$

$$\sigma_{11}^0(x_1, x_2), \sigma_{12}^0(x_1, x_2), \sigma_{22}^0(x_1, x_2) \quad (\sigma_{ij,j}^0 = 0, \quad i, j = 1, 2)$$

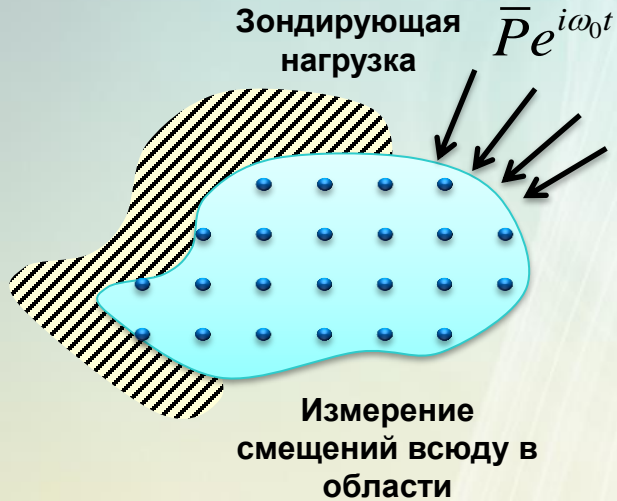
$$\begin{cases} (\sigma_{ij} + u_{i,k} \sigma_{kj}^0)_{,j} + \rho \omega^2 u_i = 0 \\ \sigma_{ij} = \lambda \delta_{ij} u_{k,k} + \mu (u_{i,j} + u_{j,i}) \\ (\sigma_{ij} + u_{i,k} \sigma_{kj}^0) n_j|_{S_\sigma} = P_i \\ u_i|_{S_u} = 0, \quad i, j, k = 1, 2 \end{cases} \quad (6)$$

**Лемма.** Пусть сущ. 2 решения  $\sigma_{ij}^{0(1)}, \sigma_{ij}^{0(2)}$ ;  $d_{ij}^0 = \sigma_{ij}^{0(1)} - \sigma_{ij}^{0(2)}$   
Тогда  $u_{i,k} d_{kj}^0 = 0, \quad u_{i,k} d_{kj}^0 n_j|_{l_\sigma} = 0$  или

$$\begin{cases} u_{1,11} d_{11}^0 + 2u_{1,12} d_{12}^0 + u_{1,22} d_{22}^0 = 0 \\ u_{2,11} d_{11}^0 + 2u_{2,12} d_{12}^0 + u_{2,22} d_{22}^0 = 0 \end{cases} \quad (7)$$

– система 2 линейных уравнений для 3 компонент

## ОЗ 1-го типа



Дополнительная информация:

$$u_i|_S = f_i(x, \omega_0)$$

Рассмотрим 2 случая:

**Случай 1:** Одна из компонент ПН  $\sigma_{ij}^0$  равна 0,  
н-р,  $\sigma_{12}^0 = 0$ ,  $d_{12}^0 = 0$

$$\begin{cases} u_{1,11}d_{11}^0 + u_{1,22}d_{22}^0 = 0 \\ u_{2,11}d_{11}^0 + u_{2,22}d_{22}^0 = 0 \end{cases} \Rightarrow \quad (s1)$$

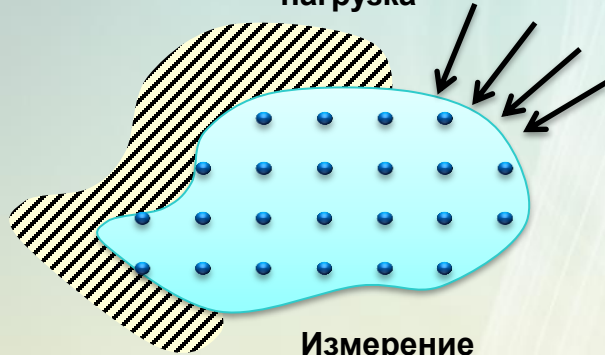
$$\Rightarrow \Delta = \begin{vmatrix} u_{1,11} & u_{1,22} \\ u_{2,11} & u_{2,22} \end{vmatrix} = u_{1,11}u_{2,22} - u_{1,22}u_{2,11} \neq 0 \quad (s2)$$

(условие существования единственного нулевого решения однородной СЛАУ)

$\Rightarrow d_{11}^0 = d_{22}^0 = 0 \Rightarrow$  единственность решения ОЗ установлена

## ОЗ 1-го типа

Зондирующая нагрузка  $\bar{P}e^{i\omega_0 t}$



Измерение смещений всюду в области

Дополнительная информация:

$$u_i|_S = f_i(x, \omega_0)$$

Случай 2: ПН общего вида:

$$\begin{cases} u_{1,11}d_{11}^0 + 2u_{1,12}d_{12}^0 + u_{1,22}d_{22}^0 = 0 \\ u_{2,11}d_{11}^0 + 2u_{2,12}d_{12}^0 + u_{2,22}d_{22}^0 = 0 \end{cases} \Rightarrow d_{11}^0 = \frac{\Delta_1}{\Delta} d_{12}^0, \quad d_{22}^0 = \frac{\Delta_2}{\Delta} d_{12}^0$$

$$\Delta_1 = \begin{vmatrix} -2u_{1,12} & u_{1,22} \\ -2u_{2,12} & u_{2,22} \end{vmatrix} = 2(u_{2,12}u_{1,22} - u_{1,12}u_{2,22})$$

$$\Delta_2 = \begin{vmatrix} u_{1,11} & -2u_{1,12} \\ u_{2,11} & -2u_{2,12} \end{vmatrix} = 2(u_{1,12}u_{2,11} - u_{2,12}u_{1,11})$$

Для обеспечения единственности нужна доп. инф., н-р  $u_i^{(2)}(P_i^{(2)})$

$$\Rightarrow \text{if } \frac{\Delta_1(u^{(1)})}{\Delta(u^{(1)})} \neq \frac{\Delta_1(u^{(2)})}{\Delta(u^{(2)})} \quad \text{or} \quad \frac{\Delta_2(u^{(1)})}{\Delta(u^{(1)})} \neq \frac{\Delta_2(u^{(2)})}{\Delta(u^{(2)})} \quad (s3)$$

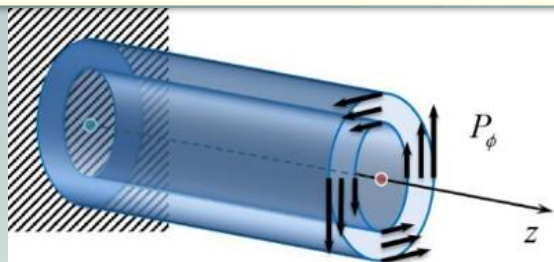
$\Rightarrow d_{11}^0 = d_{22}^0 = d_{12}^0 = 0$  ...и единственность доказана.

**Замечание.** Проверка этих условий требует нахождения вторых производных перемещений, что является некорректной задачей и может быть реализовано с использованием сплайн-аппроксимации.

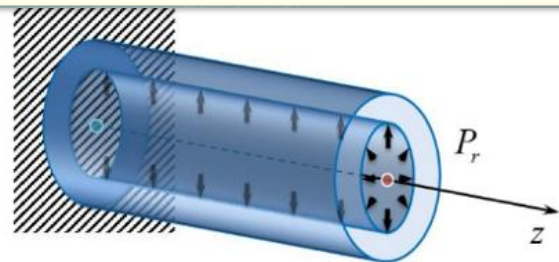


# ОЗ 1-го типа для цилиндра и оболочки

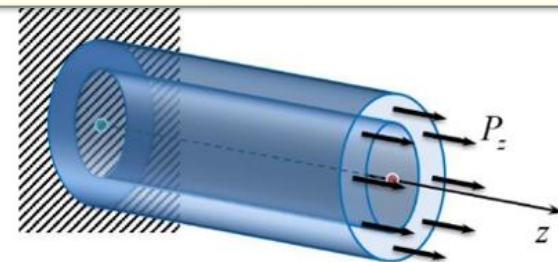
## Акустическое зондирование



$$P_r = 0, P_\phi = \tau r / R_2, P_z = 0 \quad (z = L)$$



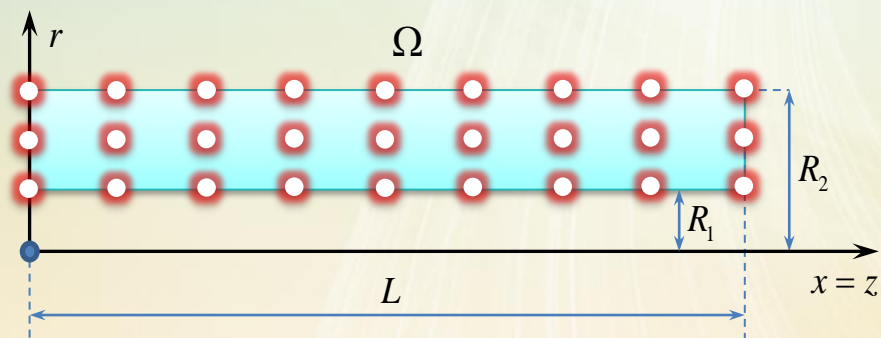
$$P_r = \tau, P_\phi = 0, P_z = 0 \quad (r = R_1)$$



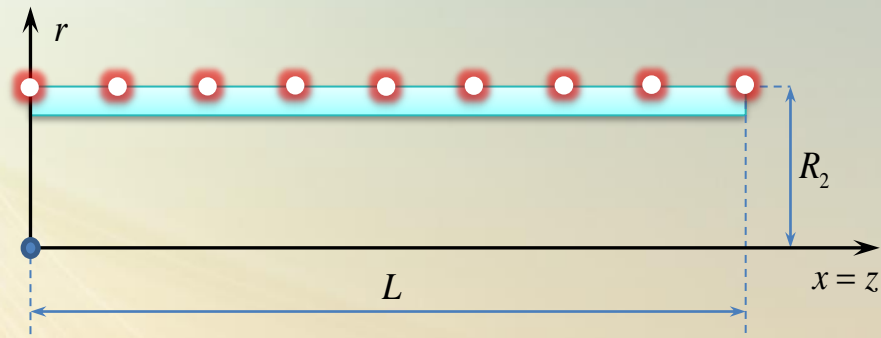
$$P_r = 0, P_\phi = 0, P_z = \tau \quad (z = L)$$

## Дополнительная информация

### Цилиндр



### Оболочка



● Измерение амплитуд смещений

$\sigma_0 - ?$

# Обратная задача для цилиндра

## Реконструкция

$$\sigma_0 = \sum_{k=1}^m \varepsilon_k \tilde{\sigma}^k, \quad k = \{I, II, \dots, VII\}$$

## Слабая постановка → СЛАУ

(12)

$$a_{jk} \varepsilon_k = b_j, \quad j = \overline{1, n}$$

Метод Тихонова

$$a_{jk} = \int_{\Omega} \Sigma_k \left( u_r^{(j)}, u_{\phi}^{(j)}, u_z^{(j)} \right) d\Omega$$

$$b_j = F^u \left( u_r^{(j)}, u_{\phi}^{(j)}, u_z^{(j)} \right) - \int_{\Omega} K_{\lambda\mu}^{uu} \left( \lambda, \mu, u_r^{(j)}, u_{\phi}^{(j)}, u_z^{(j)} \right) d\Omega$$

$$\Sigma_k \left( u_r^{(j)}, u_{\phi}^{(j)}, u_z^{(j)} \right) = \tilde{\sigma}_{r\phi}^k K_{r\phi}^{uu} + \tilde{\sigma}_{rz}^k K_{rz}^{uu} \dots + \tilde{\sigma}_{zz}^k K_{zz}^{uu}$$

$$K_{\alpha\beta}^{uu} = K_{\alpha\beta}^{uu} \left( u_r^{(j)}, u_{\phi}^{(j)}, u_z^{(j)} \right)$$

## Тензорный базис «эталонных» начальных состояний

$\tilde{\sigma}^I$	<i>Раздувание</i> (равномерно-распределенная нормальная нагрузка на внутренней границе)
$\tilde{\sigma}^{II}$	<i>Радиальное сжатие</i> (равномерно-распределенная нормальная сжимающая нагрузка на внешней границе)
$\tilde{\sigma}^{III}$	<i>Осевое растяжение</i>
$\tilde{\sigma}^{IV}$	<i>Скручивание</i> разнонаправленными касательными нагрузками на внутренней и внешней границах
$\tilde{\sigma}^V$	<i>Скручивание</i> касательной нагрузкой на торце
$\tilde{\sigma}^{VI}$	<i>Сдвиг</i> касательной нагрузкой, приложенной на внутренней границе
$\tilde{\sigma}^{VII}$	<i>Сдвиг</i> касательной нагрузкой, приложенной на внешней границе

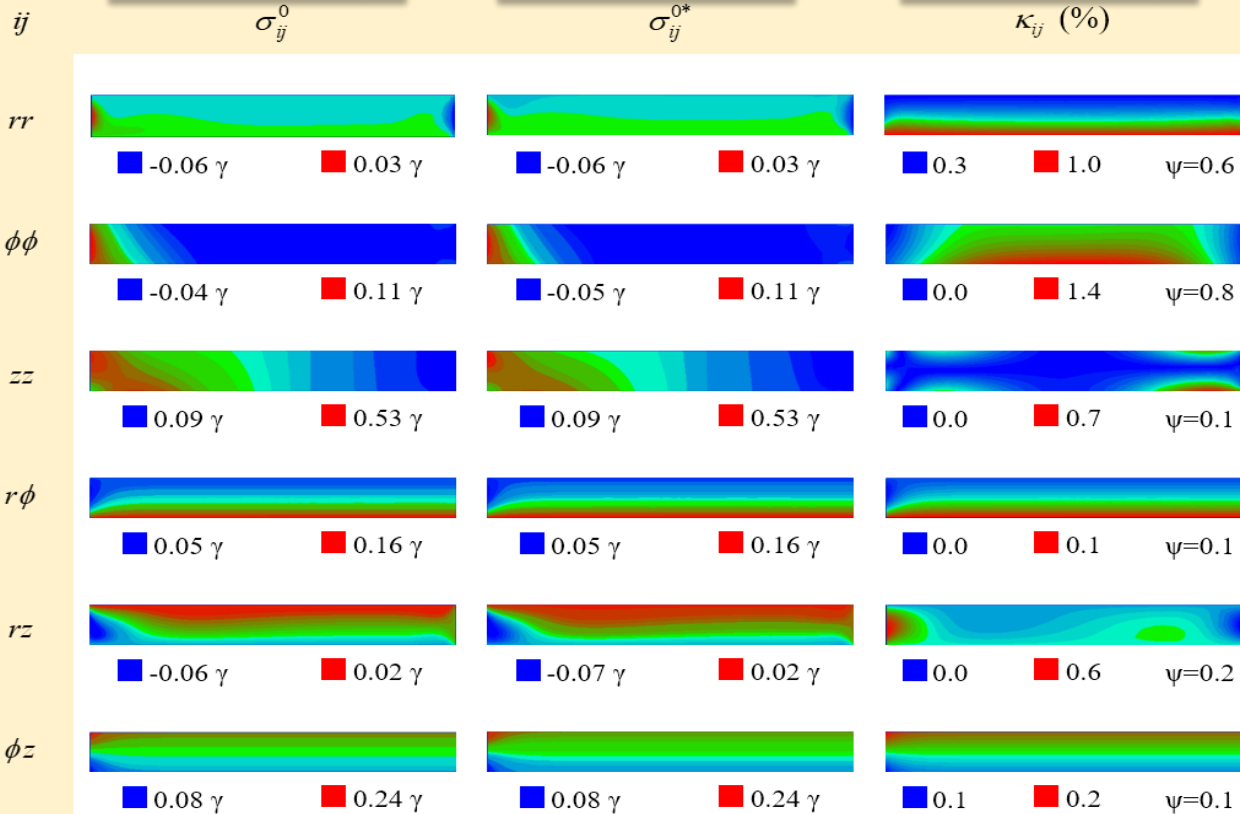
# Идентификация ПН в цилиндре

Точная функция

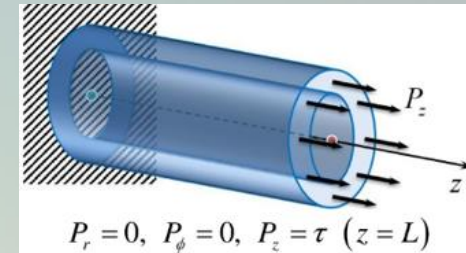
Реконструкция

Погрешность

Режим зондирования



осевые колебания



$$f = \left\{ \begin{array}{l} 800, 1100, 1400, 2000, \\ 2400, 2800, 3200 \end{array} \right\} \Gamma_{\Pi}$$

$$\kappa_{ij} = \frac{|\sigma_{ij}^0 - \sigma_{ij}^{0*}|}{\max_{r,z,i,j} |\sigma_{ij}^0|} \cdot 100\%$$

$$\psi = \frac{1}{F} \int_{\Omega} \frac{|\sigma_{ij}^0 - \sigma_{ij}^{0*}|}{\max_{r,z,i,j} |\sigma_{ij}^0|} dr dz \cdot 100\%$$

$\varepsilon_I$	$\varepsilon_{II}$	$\varepsilon_{III}$	$\varepsilon_{IV}$	$\varepsilon_V$	$\varepsilon_{VI}$	$\varepsilon_{VII}$
0.1	0.2	0.3	0.4	0.5	0.6	0.7

# Идентификация ПН в цилиндрической оболочке

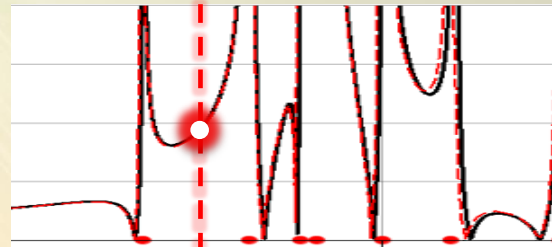
Из 1-го уравнения движения:

$$\hat{\sigma}_z^{0(0)} = \frac{2\hat{g} \left( \nu \hat{w} + \xi_0 \hat{u}' - \frac{1}{12} \varepsilon^2 \xi_0^2 \hat{w}'' \right) + \int_1^{\xi} \left[ \kappa^2 \hat{\rho} \left( \frac{2}{\xi_0} \hat{u} - \frac{1}{6} \varepsilon^2 \hat{w}' \right) - \hat{P}_z \right] d\zeta}{\tau \xi_0 \hat{u}'}$$

Из 2-го уравнения движения:

$$\begin{aligned} & \frac{1}{\xi_0} \left[ \left( 2\hat{g} + \tau \hat{\sigma}_\phi^{0(0)} \right) + \frac{1}{6} \varepsilon^2 \hat{g} \right] \hat{w} - \frac{1}{6} \varepsilon^2 \xi_0^2 \left[ \hat{g} (\hat{u}' - \xi_0 \hat{w}'') \right]'' + 2\nu \hat{g} \hat{u}' - \\ & - \xi_0 \tau \left( \hat{\sigma}_z^{0(0)} \hat{w}' \right)' - \frac{2\kappa^2}{\xi_0} \hat{\rho} \hat{w} - \frac{1}{6} \varepsilon^2 \kappa^2 \left( \hat{\rho} (\hat{u} - \xi_0 \hat{w}') \right)' + \xi_0 \hat{P}'_z + \hat{P}'_r = 0 \end{aligned} \quad \Rightarrow \quad \hat{\sigma}_\phi^{0(0)}$$

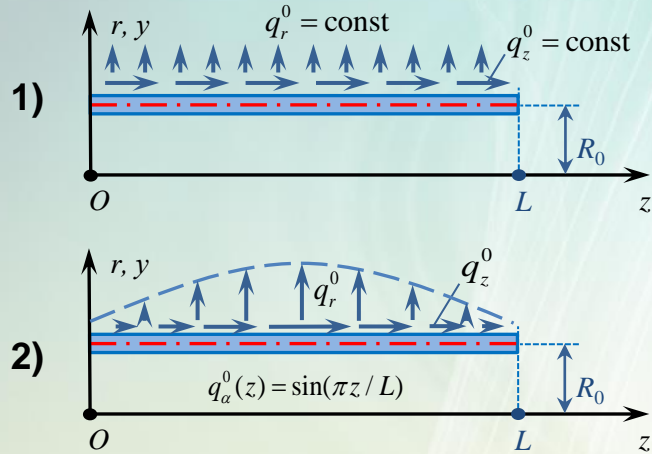
Зондирование – на **одной** частоте колебаний



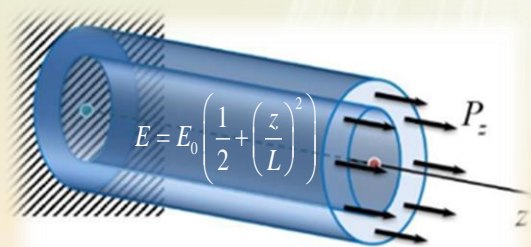


# Идентификация ПН в цилиндрической оболочке

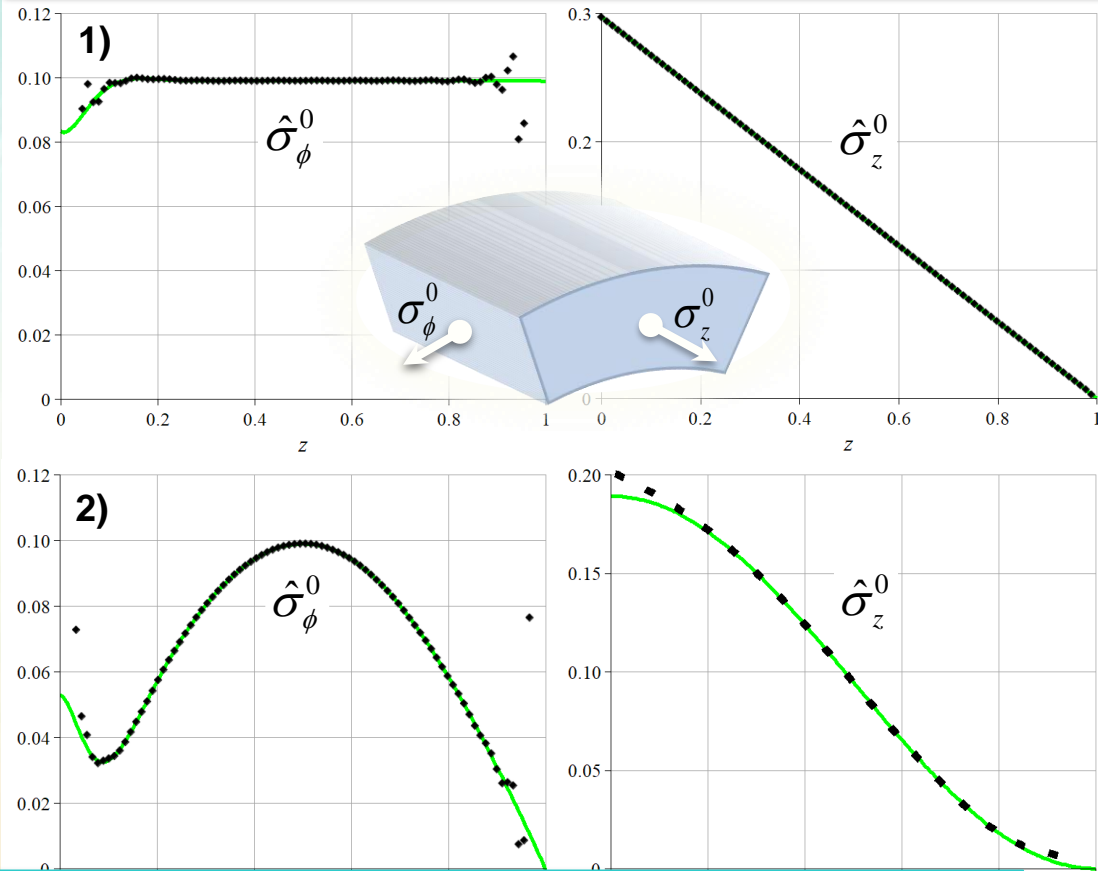
## Начальное нагружение



## Зондирование



## Реконструкция

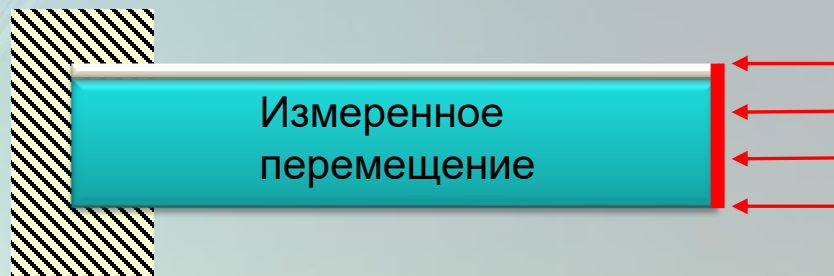
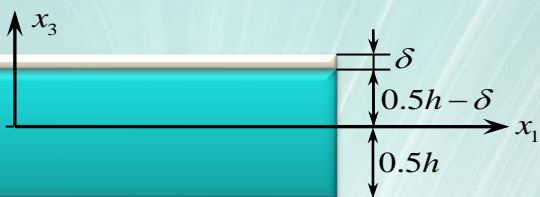


А.О. Ватульян, Р.Д. Недин, В.О. Юров // Проблемы прочности и пластичности 85 (2023)

# Идентификация уровня ПН в покрытии

$$\sigma_c^0 = \text{const}$$

$$\sigma_p^0 = 0$$



$$\Sigma_{11}^0 = -h \frac{\left[ \Lambda_0 (\zeta_{1,1} + \zeta_{2,2}) + 2M_0 \zeta_{1,1} \right]_{,1} + \left[ M_0 (\zeta_{1,2} + \zeta_{2,1}) \right]_{,2}}{\zeta_{1,1}} \quad (У4)$$

$$l = 0.2 \text{ m}, b = 0.05 \text{ m}, h = 0.003 \text{ m}, \delta = 0.1h, \nu_p = \nu_c = 0.29,$$

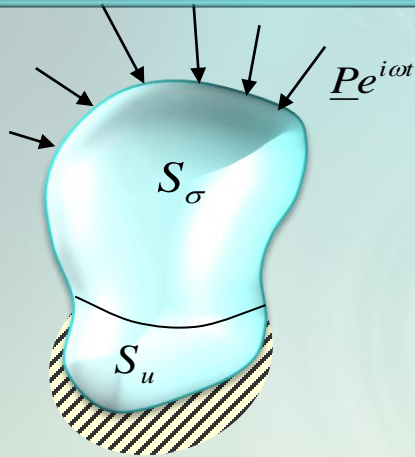
$$E_p = 70 \text{ GPa}, \rho_p = 2500 \text{ kg/m}^3, E_c = 210 \text{ GPa}, \rho_c = 7700 \text{ kg/m}^3, \sigma_p^0 = 0.$$

Prestress level $\tau = \sigma_c^0 / E_p$	Exact value $\sigma_c^0$	Reconstruction $\tilde{\sigma}_c^0$	Relative error (%)
$10^{-5}$	21	18.7526	10.7019
$10^{-4}$	210	205.206	2.28266
$10^{-3}$	2100	2069.75	1.44051
$10^{-2}$	21000	20715.4	1.3552

$$[\tau] = \text{kg/cm}^2$$

$$f = 220.5 \text{ Hz}$$

# Обратная задача 2-го типа



## Дополнительная информация

$\mathbf{f} = \mathbf{u} |_{S_\sigma}$ ,  $\omega_k \in [\omega_-, \omega_+]$ ,  $k = \overline{1, m}$   
измеренные перемещения на  $S_\sigma$

## Найти

$\boldsymbol{\sigma}_0$   
тензор начальных напряжений

Итерационный процесс:

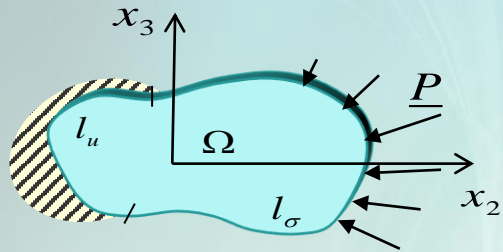
$$\int_V \left[ \left( \boldsymbol{\sigma}_0^{(n)} \cdot \nabla \mathbf{u}^{(n-1)} \right) : \nabla \mathbf{u}^{(n-1)} \right] dV + \int_{S_\sigma} \mathbf{p} \cdot \left( \mathbf{f} - \mathbf{u}^{(n-1)} \right) dS = 0, \quad \omega \in [\omega_-, \omega_+] \quad (13)$$

$\boldsymbol{\sigma}_0^{(n)}$  – поправки;  $\boldsymbol{\sigma}_0^{(0)}$  – начальное приближение

Ватульян А.О., Недин Р.Д. // Вычислительная механика сплошных сред 16(1) (2023) 61-77

# Идентификация одноосных ПН

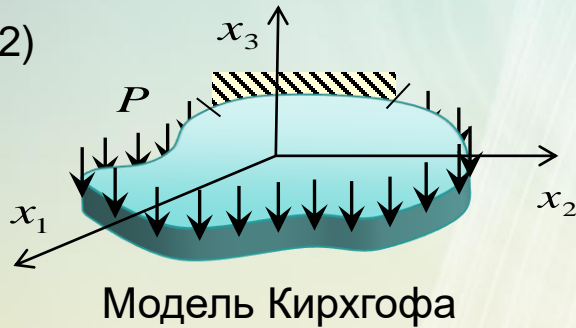
1)



$$\sigma_{11}^0 = \sigma_{11}^0(x_2), \quad u_1 = u_1(x_1, x_2), \quad u_2 = u_2(x_1, x_2), \quad u_3 = 0,$$

$$\int_{\Omega} \sigma_{11}^{0(n)} \left[ \left( u_{1,1}^{(n-1)} \right)^2 + \left( u_{2,1}^{(n-1)} \right)^2 \right] d\Omega = \int_{l_{\sigma}} P_i \left( u_i^{(n-1)} - f_i \right) dl_{\sigma} \quad (Y1)$$

2)

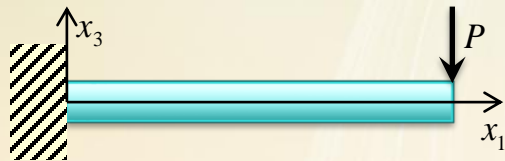


$$\sigma_{11}^0 = \sigma_{11}^0(x_2), \quad u_1 = -w_{,1} x_3, \quad u_2 = -w_{,2} x_3, \quad u_3 = w,$$

$$\int_{\Omega} \sigma_{11}^{0(n)} \left[ \frac{h^3}{12} \left\{ \left( w_{,11}^{(n-1)} \right)^2 + \left( w_{,12}^{(n-1)} \right)^2 \right\} + h \left( w_{,1}^{(n-1)} \right) \right] d\Omega =$$

$$= \int_{l_{\sigma}} P \left( w^{(n-1)} - f \right) dl_{\sigma} \quad (Y2)$$

3)



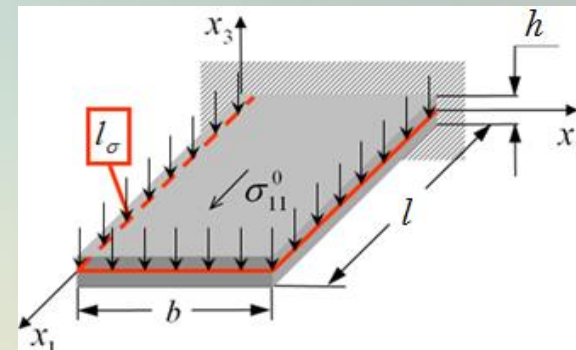
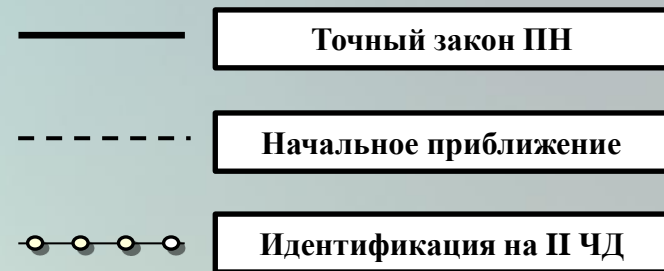
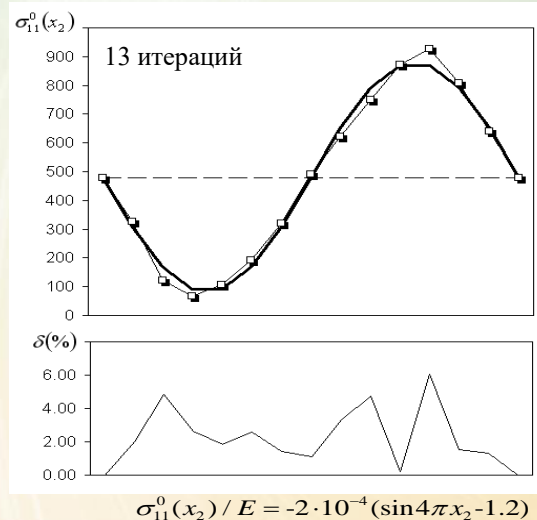
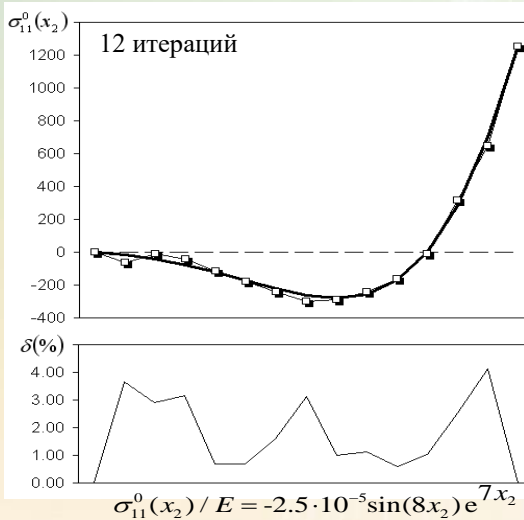
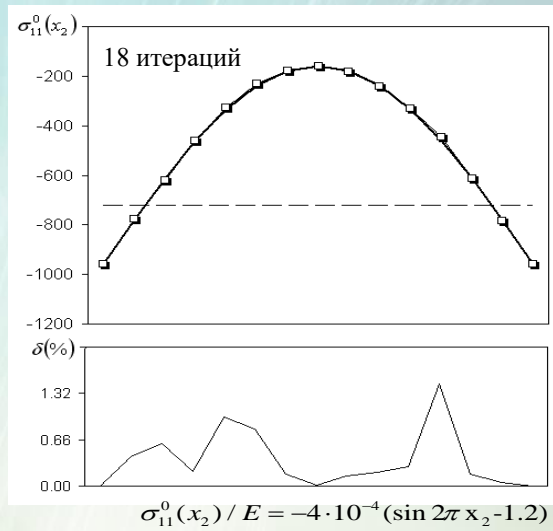
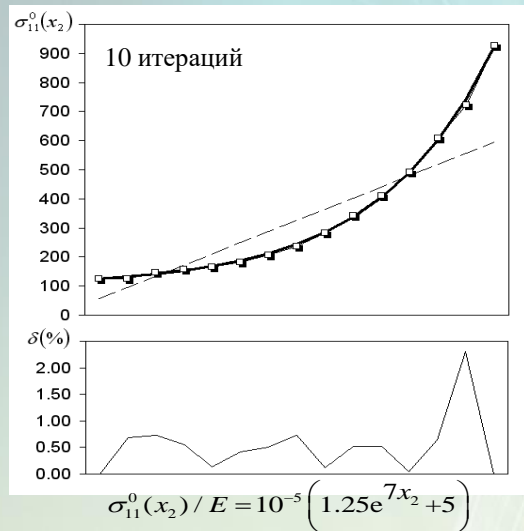
$$\sigma_{11}^0 = \sigma_{11}^0(x_1), \quad u_1 = \theta x_3, \quad u_2 = 0, \quad u_3 = w,$$

$$\int_0^l \sigma_{11}^{0(n)} \left[ J \left( \theta^{(n-1)} \right)'^2 + F \left( w^{(n-1)} \right)'^2 \right] dx_1 = P \left[ w^{(n-1)}(l) - f(l) \right] \quad (Y3)$$

$$\omega \in [\omega_-, \omega_+]$$



# Изгибные колебания пластины. Модель Тимошенко



$l = 2\text{м}, \quad b = 1\text{м}, \quad h = 0.1\text{м},$

$E = 1.96 \cdot 10^{11} \text{Па}, \quad \nu = 0.28$

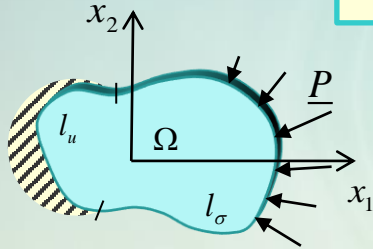
# Идентификация плоского начального НДС

Неизвестные функции:  $\sigma_{11}^0 = \sigma_{11}^0(x_1, x_2)$ ,  $\sigma_{22}^0 = \sigma_{22}^0(x_1, x_2)$ ,  $\sigma_{12}^0 = \sigma_{12}^0(x_1, x_2)$

ИУФ 1-го рода:

$$\int_{\Omega} \left( \sigma_{11}^{0(n)} K_{11}^{(n-1)} + \sigma_{22}^{0(n)} K_{22}^{(n-1)} + \sigma_{12}^{0(n)} K_{12}^{(n-1)} \right) d\Omega = F^{(n-1)} \quad (16)$$

1)

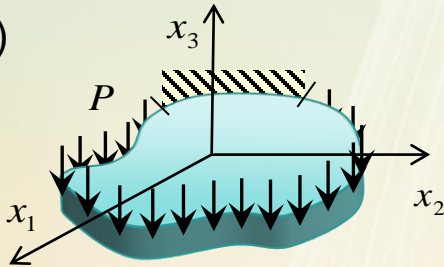


$$u_1 = -w_{,1} x_3, \quad u_2 = -w_{,2} x_3, \quad u_3 = w$$

$$K_{11} = \left[ u_{1,1}^{(n-1)} \right]^2 + \left[ u_{2,1}^{(n-1)} \right]^2, \quad K_{22} = \left[ u_{1,2}^{(n-1)} \right]^2 + \left[ u_{2,2}^{(n-1)} \right]^2 \quad (17)$$

$$K_{12} = 2 \left[ u_{1,1}^{(n-1)} u_{1,2}^{(n-1)} + u_{2,1}^{(n-1)} u_{2,2}^{(n-1)} \right], \quad F = \int_{l_{\sigma}} \left[ P_1(u_1^{(n-1)} - f_1) + P_2(u_2^{(n-1)} - f_2) \right] dl_{\sigma}$$

2)



$$u_1 = \theta_1 x_3, \quad u_2 = \theta_2 x_3, \quad u_3 = w$$

$$K_{11} = H \left( \left[ \theta_{1,1}^{(n-1)} \right]^2 + \left[ \theta_{2,1}^{(n-1)} \right]^2 \right) + h \left[ w_{,1}^{(n-1)} \right]^2, \quad (18)$$

$$K_{22} = H \left( \left[ \theta_{1,2}^{(n-1)} \right]^2 + \left[ \theta_{2,2}^{(n-1)} \right]^2 \right) + h \left[ w_{,2}^{(n-1)} \right]^2,$$

$$K_{12} = 2 \left[ H(\theta_{1,1}^{(n-1)} \theta_{1,2}^{(n-1)} + \theta_{2,1}^{(n-1)} \theta_{2,2}^{(n-1)}) + h w_{,1}^{(n-1)} w_{,2}^{(n-1)} \right], \quad F = - \int_{l_{\sigma}} P(w^{(n-1)} - f) dl_{\sigma}$$

# Сведение к СЛАУ на текущей итерации

$$\begin{cases} \sigma_{11}^{0(n)} = \delta\Phi_{,22}^{(n)} \\ \sigma_{22}^{0(n)} = \delta\Phi_{,11}^{(n)} \\ \sigma_{12}^{0(n)} = -\delta\Phi_{,12}^{(n)} \end{cases} \Rightarrow \int_S \left( \delta\Phi_{,22}^{(n)} K_{11}^{(n-1)} - \delta\Phi_{,12}^{(n)} K_{12}^{(n-1)} + \delta\Phi_{,11}^{(n)} K_{22}^{(n-1)} \right) dS = F^{(n-1)}(\omega), \quad \omega \in [\omega_-, \omega_+] \quad (19)$$

$$F^{(n-1)}(\omega) = \int_{l_\sigma} \left[ P_1(u_1^{(n-1)} - f_1) + P_2(u_2^{(n-1)} - f_2) \right] dl_\sigma$$

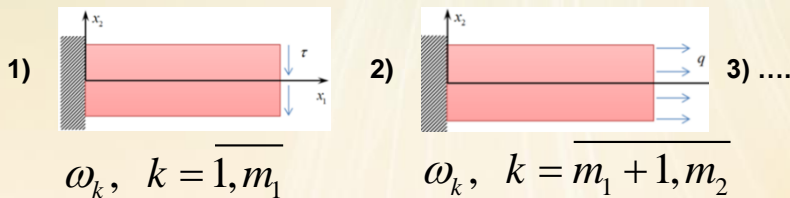
$\delta\Phi^{(n)}$  – поправка к искомой функции напряжений (Эри) на  $n$ -ой итерации

$$\delta\Phi^{(n)} = \sum_{k=1}^N a_k^{(n)} \varphi_k \quad \varphi_k - \text{базисные функции} \quad a_k - \text{искомые к-ты разложения}$$

Полином. разложение:  $\delta\Phi^{(n)} = \sum_{k,l=0}^N a_{k,l}^{(n)} x_1^k x_2^l \Rightarrow \sum_{k,l=0}^N a_{k,l}^{(n)} A_{k,l}^{(n-1)} = F^{(n-1)}$

$$A_{k,l}^{(n-1)} = \int_S \left( l(l-1)x_1^k x_2^{l-2} K_{11}^{(n-1)} - klx_1^{k-1} x_2^{l-1} K_{12}^{(n-1)} + k(k-1)x_1^{k-2} x_2^l K_{22}^{(n-1)} \right) dS \quad (20)$$

Серия из  $m$  эксп. по частотному зондированию


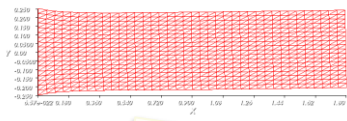
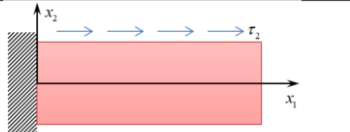
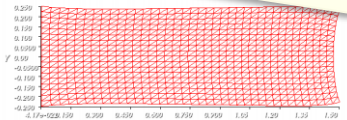

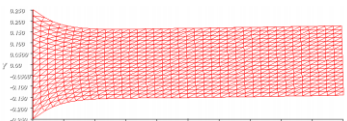



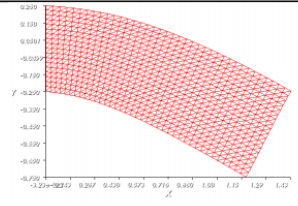
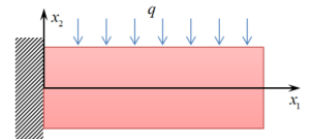
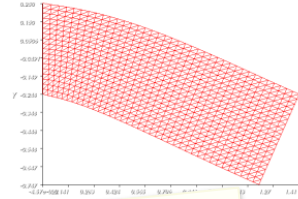
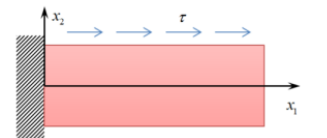
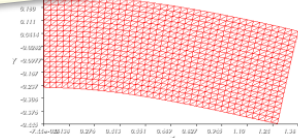
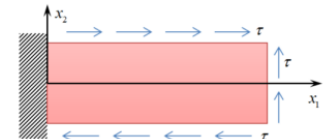
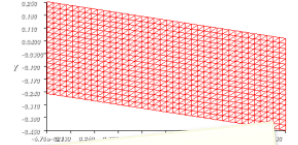
$$\begin{cases} a_{2,0}^{(n)} [A_{2,0}^{(n-1)}]_1 + a_{1,1}^{(n)} [A_{2,0}^{(n-1)}]_1 + a_{0,2}^{(n)} [A_{2,0}^{(n-1)}]_1 + \dots = [F^{(n-1)}]_1 \\ a_{2,0}^{(n)} [A_{2,0}^{(n-1)}]_2 + a_{1,1}^{(n)} [A_{2,0}^{(n-1)}]_2 + a_{0,2}^{(n)} [A_{2,0}^{(n-1)}]_2 + \dots = [F^{(n-1)}]_2 \\ \dots \\ a_{2,0}^{(n)} [A_{2,0}^{(n-1)}]_m + a_{1,1}^{(n)} [A_{2,0}^{(n-1)}]_m + a_{0,2}^{(n)} [A_{2,0}^{(n-1)}]_m + \dots = [F^{(n-1)}]_m \end{cases} \quad (21)$$

**Метод регуляризации А.Н. Тихонова**

# Анализ чувствительности

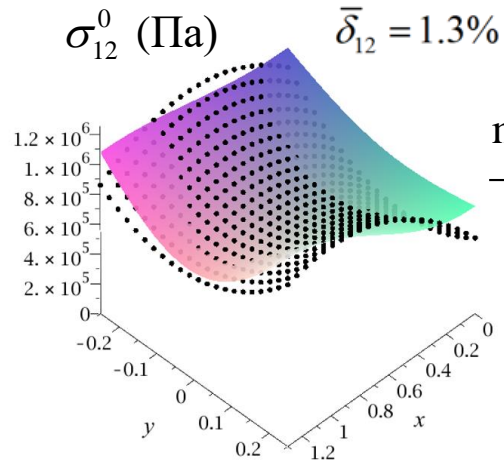
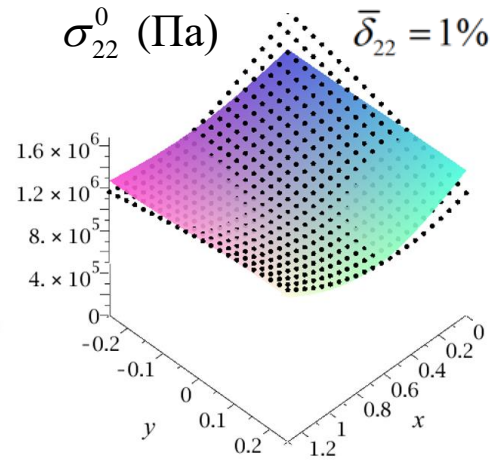
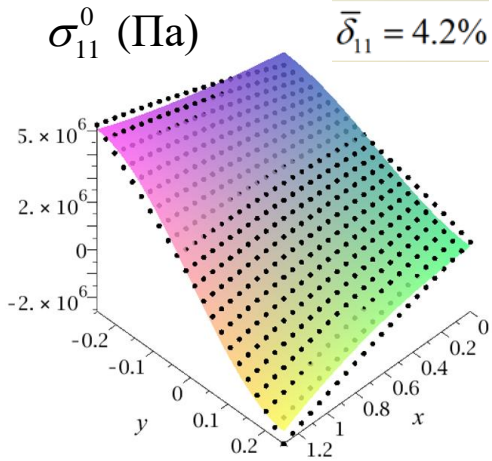
Какие зондирующие нагрузки наиболее эффективны для реконструкции начальных напряжений?

#	Loading type and natural boundary conditions	Region deformation (FEM)
1	 <p> <math>T_{11} _{\Gamma_2} = q, T_{21} _{\Gamma_2} = 0</math>  <math>T_{ij}n_j _{\Gamma_{1,3}} = 0, i, j = 1, 2</math> </p>	 <p style="text-align: center;">Зондирование растяжением</p>
2	 <p> <math>T_{12} _{\Gamma_{1,3}} = \pm\tau, T_{22} _{\Gamma_{1,3}} = 0</math>  <math>(\tau_1 = \tau_2 = \tau)</math>  <math>T_{ij}n_j _{\Gamma_2} = 0, i, j = 1, 2</math> </p>	
3	 <p> <math>T_{12} _{\Gamma_{1,3}} = 0, T_{22} _{\Gamma_{1,3}} = -q</math>  <math>T_{ij}n_j _{\Gamma_2} = 0, i, j = 1, 2</math> </p>	 <p style="text-align: center;">Зондирование сжатием</p>

4	 <p> <math>T_{11} _{\Gamma_2} = 0, T_{21} _{\Gamma_2} = -\tau</math>  <math>T_{ij}n_j _{\Gamma_{1,3}} = 0, i, j = 1, 2</math> </p>	
5	 <p> <math>T_{12} _{\Gamma_3} = 0, T_{22} _{\Gamma_3} = -q</math>  <math>T_{ij}n_j _{\Gamma_{1,2}} = 0, i, j = 1, 2</math> </p>	 <p style="text-align: center;">Зондирование изгибом</p>
6	 <p> <math>T_{12} _{\Gamma_3} = \tau, T_{22} _{\Gamma_3} = 0</math>  <math>T_{ij}n_j _{\Gamma_{1,2}} = 0, i, j = 1, 2</math> </p>	
7	 <p> <math>T_{12} _{\Gamma_{1,3}} = \tau, T_{21} _{\Gamma_2} = \tau</math>                      other components <math>T_{ij} _{\Gamma_{1,2,3}} = 0</math> </p>	 <p style="text-align: center;">Зондирование сдвигом</p>




# Реконструкция плоского начального НДС



$$\frac{\max_{x,y} |\tilde{\sigma}_{\gamma\beta}^0|}{E} = 10^{-6} \div 10^{-4}$$

$$E = 1.98 \cdot 10^{11} \text{ Па}$$

**8 итераций**

 Истинные напряжения

$\tilde{\sigma}_{\alpha\beta}^0$



Реконструкция  $\sigma_{\alpha\beta}^0$

$$\tilde{\sigma}_{11}^0 = 10^5 (14.7 + 1.47 \sin 2.3x_1 \exp 2x_2 - 13.2 \sin 6x_2 \exp 0.77x_1)$$

$$\tilde{\sigma}_{22}^0 = 10^5 (13.5 - 1.95 \sin 2.3x_1 \exp 2x_2 - 0.22 \sin 6x_2 \exp 0.77x_1)$$

$$\tilde{\sigma}_{12}^0 = 10^5 (10 - 1.7 \cos 2.3x_1 \exp 2x_2 - 1.7 \cos 6x_2 \exp 0.77x_1)$$

точные законы  
восстанавливаемых  
функций напряжений

4 частоты зондирования:  $\omega_1 = 230$  Гц,  $\omega_2 = 1020$  Гц,  $\omega_3 = 2020$  Гц,  $\omega_4 = 2060$  Гц

# Заключение

- На основе линеаризованной модели о колебаниях предварительно напряженного (ПН) тела представлена общая постановка краевой задачи и ее вариационная формулировка.
- Рассмотрены постановки *обратных коэффициентных задач* об идентификации полей ПН при наличии дополнительной информации об измеренных амплитудах перемещений в некотором частотном диапазоне.
- Изучены некоторые обратные задачи о реконструкции ПН различных типов в *пластинах и цилиндрах*, проведены и проанализированы вычислительные эксперименты.

***Спасибо за внимание!***